

О ПОЛЕВОЙ ЗАВИСИМОСТИ МОДУЛЯ ЮНГА В МОНОКРИСТАЛЛЕ ГАДОЛИНИЯ

В. Ю. Бодряков

*Уральский государственный технический университет (УПИ),
620002, Екатеринбург, Россия*

*В. М. Зверев**

*Физический институт им. П. Н. Лебедева Российской академии наук
117924, Москва, Россия*

С. А. Никитин

*Московский государственный университет им. М. В. Ломоносова
119899, Москва, Россия*

Поступила в редакцию 13 апреля 1998 г.,
после переработки 15 мая 1998 г.

Измерена полевая зависимость модуля Юнга вдоль гексагональной оси c в монокристалле гадолиния в широкой области температур и величин магнитного поля, направленного параллельно оси c . Обнаружено, что изотермы полевой зависимости ΔE -эффекта в гадолинии хорошо аппроксимируются линейной зависимостью от квадрата намагниченности в области как слабых, так и сильных магнитных полей, а также выше и ниже температуры спин-переориентационного перехода. Показано, что полученные экспериментальные закономерности вблизи ферромагнитного перехода могут быть интерпретированы в рамках подхода, основанного на теории Ландау фазовых переходов второго рода. Определены параметры такого подхода для гадолиния на основе анализа экспериментальных данных.

1. ВВЕДЕНИЕ

Исследования магнитоупругих взаимодействий в редкоземельных (РЗ) металлах имеют важное значение как для понимания природы магнитных фазовых превращений в этих металлах, так и для их практического применения [1]. Одним из эффективных методов исследования магнитоупругих взаимодействий в РЗ-металлах является изучение особенностей температурной и полевой зависимостей упругих модулей и внутреннего трения в области магнитных фазовых переходов. Эти исследования позволяют не только определять важные экспериментальные параметры РЗ-металлов, но и проверять применимость теоретических подходов к описанию магнитоупругих явлений в этих металлах (см., например, [2]). Хотя к настоящему времени накоплен значительный экспериментальный материал об упругих свойствах и внутреннем трении РЗ-металлов (см., например, [3–8]), полевые зависимости аномалий упругих свойств и внутренне-

* E-mail: zverev@sci.lpi.ac.ru

го трения в области магнитных фазовых переходов изучены не достаточно полно и не получили адекватного теоретического объяснения.

В частности, применительно к гадолинию детальные изотермы полевой зависимости упругого модуля $C_{33}(T, H)$ в широкой области температур T измерены только в геометрии, при которой магнитное поле H ориентировано в базисной плоскости [7]. При этом получены сложные полевые зависимости модуля $C_{33}(T, H)$, которые до сих пор не нашли теоретического истолкования. Последнее, по-видимому, обусловлено трудностью расчета зависящего от магнитного поля вклада доменной структуры в модуль $C_{33}(T, H)$ в указанной геометрии.

Влияние магнитного поля, направленного вдоль гексагональной оси монокристалла гадолиния, на температурную зависимость упругого модуля $C_{33}(T, H)$ исследовано в работе [3] в сравнительно ограниченной области температур ниже температуры спин-переориентационного перехода. Интерпретации обнаруженных закономерностей посвящены работы [9, 10]. При этом, во-первых, осталась неизученной в указанной геометрии полевая зависимость упругого модуля $C_{33}(T, H)$ в области температур выше температуры спин-переориентационного перехода, и, во-вторых, не были установлены экспериментальные зависимости полевых изотерм упругого модуля $C_{33}(T, H)$ от квадрата намагниченности как выше, так и ниже температуры спин-переориентационного перехода. Последнее особенно важно, поскольку представляет удобный способ для количественного сравнения экспериментальных закономерностей с предсказаниями теории и тем самым открывает возможность для определения параметров теории на основе такого сравнения.

Гадолиний является удобным модельным объектом для теоретического исследования магнитного вклада в упругие модули в случае, когда магнитное поле направлено вдоль гексагональной оси c . Это обусловлено тем, что вектор спонтанной намагниченности в монокристалле гадолиния направлен вдоль этой оси в интервале температур $T_{SR} < T < T_C$, где $T_{SR} \approx 230$ К — температура спин-переориентационного перехода и $T_C = 293$ К — температура Кюри (см., например, [11]). Наложение сравнительно слабого магнитного поля $H > 0.5$ кЭ, параллельного гексагональной оси, приводит к тому, что в указанной области температур только парапроцесс определяет изменения как намагниченности, так и магнитного вклада в упругие модули. Это обстоятельство позволяет пренебречь вкладом доменной структуры в упругие модули, что существенно упрощает теоретический подход, используемый для описания температурной и полевой зависимостей упругих модулей гадолиния вблизи температуры Кюри. Ниже в основу такого подхода будет положена феноменологическая теория Ландау фазовых переходов второго рода и разработанный в [12] метод, которые свободны от модельных представлений о природе ферромагнетизма и магнитоупругости.

Целью настоящей работы является измерение полевой зависимости модуля Юнга $E(T, H) = C_{33}(T, H)$ вдоль гексагональной оси c в монокристалле гадолиния в широкой области температур и величин магнитного поля, приложенного параллельно оси c , установление экспериментальных зависимостей полевых изотерм ΔE -эффекта от квадрата намагниченности, интерпретация обнаруженных закономерностей вблизи ферромагнитного перехода в рамках подхода, основанного на теории Ландау фазовых переходов второго рода и определение параметров такого подхода для гадолиния на основе анализа экспериментальных данных.

2. ЭКСПЕРИМЕНТАЛЬНЫЙ МЕТОД И РЕЗУЛЬТАТЫ ИЗМЕРЕНИЙ

Для решения сформулированных выше задач были выполнены детальные измерения на звуковых частотах 1–3 кГц модуля Юнга $E(T, H)$ вдоль гексагональной оси c в монокристалле гадолиния в широкой области температур $80 \leq T \leq 350$ К и величин магнитного поля $H \leq 12.9$ кЭ, направленного параллельно оси c . Модуль Юнга измерялся методом, описанным в [13], в котором используется электростатический способ возбуждения автоколебаний в области звуковых частот в консольно закрепленном образце, имеющем форму тонкого стержня.

Экспериментальные данные для температурной зависимости модуля Юнга $E(T, H)$ при различных значениях магнитного поля представлены на рис. 1. Прямая $E_0(T)$ на этом рисунке изображает экстраполяцию модуля Юнга по линейному температурному закону из парамагнитной области в область температур ниже T_C в пренебрежении магнитными фазовыми переходами. Основанием для такой экстраполяции является экспериментально установленная линейная температурная зависимость модуля Юнга $E_0(T)$ в парамагнитном состоянии выше температуры Кюри. Ломанная кривая 1 на обсуждаемом рисунке, полученная в отсутствие магнитного поля, соответствует результатам работ [3–6], согласно которым аномалии в температурной зависимости модуля $E(T, 0)$, имеющие место в окрестности температур $T_C \simeq 293$ К и $T_{SR} \simeq 230$ К, отвечают пе-

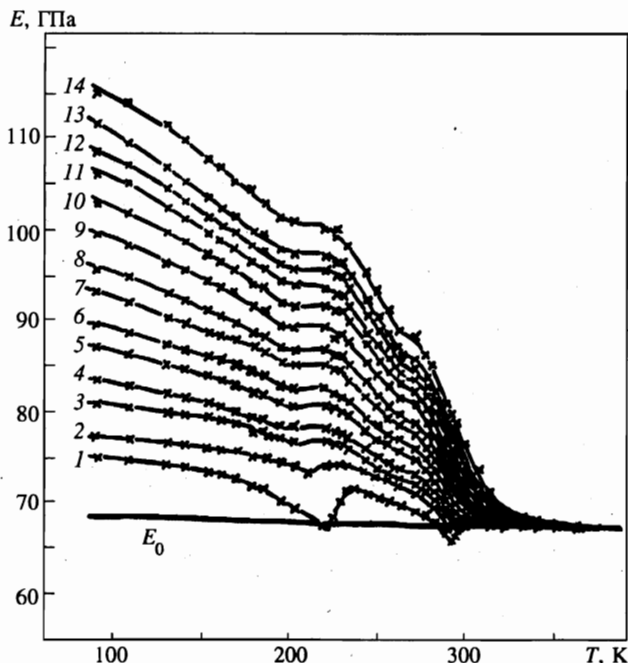


Рис. 1. Температурные зависимости модуля Юнга $E(T, H)$, измеренного вдоль гексагональной оси c в монокристалле гадолиния при различных значениях магнитного поля $H \parallel c$ в кЭ: 1 — 0, 2 — 0.3, 3 — 1.1, 4 — 1.5, 5 — 2.3, 6 — 2.9, 7 — 3.8, 8 — 4.5, 9 — 5.7, 10 — 6.9, 11 — 8.0, 12 — 9.0, 13 — 10.2, 14 — 12.9. Прямая $E_0(T)$ представляет экстраполяцию модуля Юнга из парамагнитного состояния

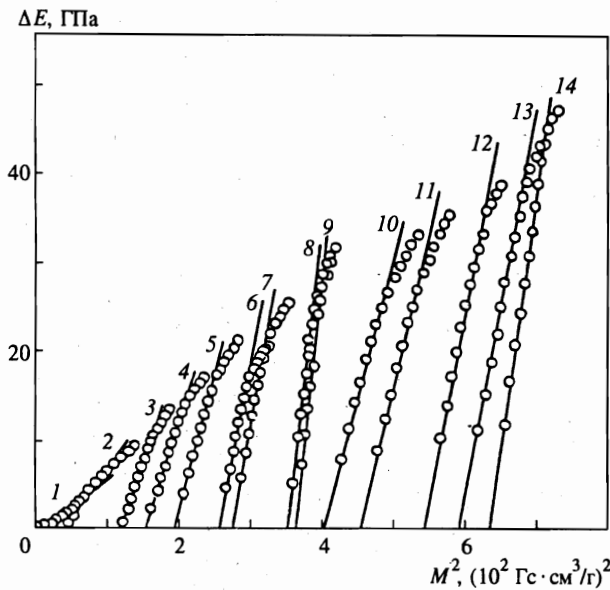


Рис. 2. Изотермы полевой зависимости ΔE -эффекта вдоль оси c в монокристалле гадолиния в магнитном поле $H \parallel c$ как функции квадрата намагниченности $M^2(T, H)$ при различных температурах T в К: 1 — 300, 2 — 289, 3 — 278, 4 — 271, 5 — 261, 6 — 251, 7 — 239, 8 — 223, 9 — 218, 10 — 192, 11 — 173, 12 — 150, 13 — 120, 14 — 81

переходу из парамагнитного состояния в ферромагнитное и спин-переориентационному переходу. При этом вблизи температуры Кюри имеет место хорошо определенный отрицательный ΔE -эффект, т. е. $\Delta E(T, 0) = E(T, 0) - E_0(T) < 0$. Следует также обратить внимание на значительное различие величин аномалии модуля $E(T, 0)$ вблизи температуры спин-переориентационного перехода, которое видно при сравнении кривой 1 на рис. 1 и рис. 1 работы [7]. Такое различие может быть обусловлено разной чистотой образцов, использованных в экспериментах. Как отмечено в работе [7], в сверхчистых образцах гадолиния аномалия модуля $E(T, 0)$ вблизи температуры T_{SR} оказывается меньше.

В конечном магнитном поле данные, представленные на рис. 1, в области температур $T > T_{SR}$ дополняют низкотемпературные результаты, приведенные на рис. 6 работы [3], и результаты на рис. 2 работы [6], полученные при одном значении магнитного поля $H = 25$ кЭ. Согласно рис. 1, с увеличением магнитного поля аномалии в температурной зависимости $E(T, H)$ вблизи T_C и T_{SR} сглаживаются, а величина модуля $E(T, H)$ существенно возрастает. При этом магнитное поле $H \approx 1.1$ кЭ ликвидирует отрицательный ΔE -эффект вблизи температуры Кюри. В области температур $T_{SR} < T < T_C$ указанные закономерности относятся к парапроцессу, поскольку, согласно нашим измерениям, вклад доменной структуры в модуль Юнга, имеющий место в исследуемой геометрии в слабых полях $H < 0.5$ кЭ, не превышает 0.1 %.

Для более детального исследования полевой зависимости модуля Юнга $E(T, H)$ в гадолинии и установления качественно новых закономерностей представляет интерес исследовать экспериментальные зависимости изменения модуля Юнга в магнитном поле $\Delta E(T, H) = E(T, H) - E(T, 0)$ от квадрата намагниченности $M^2(T, H)$ как выше,

так и ниже температуры спин-переориентационного перехода. На рис. 2 представлены результаты такого исследования, т. е. изотермы полевой зависимости ΔE -эффекта в гадолинии вдоль гексагональной оси c как функции квадрата намагниченности $M^2(T, H)$ при различных температурах. При построении таких изотерм были использованы дополнительные данные по намагниченности в поле того же самого образца, на котором измерялся модуль Юнга. Анализ рис. 2 позволяет сформулировать два важных результата. Во-первых, видно, что экспериментальные данные хорошо ложатся на прямые линии как в области сравнительно слабых магнитных полей (прямые 3-14), когда изменение квадрата намагниченности $M^2(T, H) - M^2(T, 0)$, индуцированное полем, мало по сравнению с величиной квадрата спонтанной намагниченности $M^2(T, 0)$ при заданной температуре, так и в области сильных магнитных полей, когда намагниченность определяется в основном полем (прямые 1, 2). Во-вторых, что особенно важно подчеркнуть, изотермы полевой зависимости ΔE -эффекта в гадолинии хорошо аппроксимируются линейной зависимостью от квадрата намагниченности как выше, так и ниже температуры спин-переориентационного перехода. Таким образом, обнаруживается определенное сходство в закономерностях полевой зависимости ΔE -эффекта в гадолинии как функции квадрата намагниченности в областях температур, отвечающих различным по своей природе фазовым переходам.

В следующих разделах мы количественно проанализируем обнаруженные экспериментальные закономерности в полевой зависимости ΔE -эффекта в гадолинии вблизи ферромагнитного перехода в рамках подхода, основанного на теории Ландау фазовых переходов второго рода, и определим параметры такого подхода для гадолиния из анализа полученных экспериментальных данных.

3. ТЕМПЕРАТУРНАЯ И ПОЛЕВАЯ ЗАВИСИМОСТИ УПРУГИХ МОДУЛЕЙ ФЕРРОМАГНЕТИКА ВБЛИЗИ ТЕМПЕРАТУРЫ КЮРИ

Для того чтобы в рамках теории Ландау фазовых переходов второго рода проанализировать с необходимой нам точностью температурную и полевую зависимости упругих модулей ферромагнетика, следует выйти за рамки приближений работ [12, 14] и использовать разложение для плотности свободной энергии в виде (см., например, [15])

$$F_M(T, M, \hat{u}) = F_0(T, \hat{u}) + \frac{1}{2} \left\{ \alpha(\hat{u}) [T - T_C(\hat{u})] + \frac{1}{2} \alpha_2(\hat{u}) [T - T_C(\hat{u})]^2 \right\} M^2 + \\ + \frac{1}{4} \left\{ b(\hat{u}) + \alpha_3(\hat{u}) [T - T_C(\hat{u})] \right\} M^4 + \frac{1}{6} \alpha_5(\hat{u}) M^6, \quad (3.1)$$

где T — температура, M — намагниченность и \hat{u} — тензор однородных деформаций.

Выражение (3.1) отвечает геометрии описанного выше эксперимента вблизи температуры Кюри, когда магнитное поле H и намагниченность M направлены вдоль гексагональной оси c монокристалла гадолиния. Соотношение (3.1) приводит к следующему выражению для тензора упругих модулей ферромагнетика при постоянном магнитном поле:

$$C_{ij}^H(T, H) = C_{ij}^0(T) - \frac{C_{ij}^{(1)}}{1 + \xi(T, H)} + \frac{1}{1 + \xi(T, H)} \left[C_{ij}^{(2)} + \frac{C_{ij}^{(3)}}{1 + \xi(T, H)} \right] \times$$

$$\times \left(1 - \frac{T}{T_C} \right) + \left[C_{ij}^{(4)} + \frac{C_{ij}^{(5)}}{1 + \xi(T, H)} + \frac{C_{ij}^{(6)}}{[1 + \xi(T, H)]^2} \right] \frac{b}{\alpha T_C} M^2(T, H). \quad (3.2)$$

Здесь $C_{ij}^0(T) = (\partial^2 F_0 / \partial u_i \partial u_j)_T$ — тензор упругих модулей парамагнитного состояния в отсутствие магнитного поля, а $C_{ij}^{(n)}$ — тензоры магнитоупругих коэффициентов, для которых в соответствии с (3.1) имеем

$$\begin{aligned} C_{ij}^{(1)} &= \frac{(\alpha T_C)^2}{2b} \frac{\partial \ln T_C}{\partial u_i} \frac{\partial \ln T_C}{\partial u_j}, \\ C_{ij}^{(2)} &= -\frac{(\alpha T_C)^2}{2b} \left[\frac{\partial \ln T_C}{\partial u_i} \frac{\partial \ln \alpha}{\partial u_j} + \frac{\partial \ln T_C}{\partial u_j} \frac{\partial \ln \alpha}{\partial u_i} - \frac{2\alpha T_C}{\alpha} \frac{\partial \ln T_C}{\partial u_i} \frac{\partial \ln T_C}{\partial u_j} \right], \\ C_{ij}^{(3)} &= -\left(\frac{\alpha^2 \alpha_3 T_C^3}{2b^2} \right) \frac{\partial \ln T_C}{\partial u_i} \frac{\partial \ln T_C}{\partial u_j}, \\ C_{ij}^{(4)} &= -\frac{(\alpha T_C)^2}{2b} \times \\ &\quad \times \left[\frac{\partial \ln T_C}{\partial u_i} \frac{\partial \ln \alpha}{\partial u_j} + \frac{\partial \ln T_C}{\partial u_j} \frac{\partial \ln \alpha}{\partial u_i} + \frac{1}{T_C} \frac{\partial^2 T_C}{\partial u_i \partial u_j} - \frac{\alpha_2 T_C}{\alpha} \frac{\partial \ln T_C}{\partial u_i} \frac{\partial \ln T_C}{\partial u_j} \right], \\ C_{ij}^{(5)} &= \frac{(\alpha T_C)^2}{2b} \left[\frac{\partial \ln T_C}{\partial u_i} \frac{\partial \ln b}{\partial u_j} + \frac{\partial \ln T_C}{\partial u_j} \frac{\partial \ln b}{\partial u_i} - \frac{2\alpha_3 T_C}{b} \frac{\partial \ln T_C}{\partial u_i} \frac{\partial \ln T_C}{\partial u_j} \right], \\ C_{ij}^{(6)} &= a_5 \left(\frac{\alpha T_C}{b} \right)^3 \frac{\partial \ln T_C}{\partial u_i} \frac{\partial \ln T_C}{\partial u_j}. \end{aligned} \quad (3.3)$$

Зависимость тензора (3.2) от магнитного поля описывается не только последним слагаемым правой части (3.2), пропорциональным $M^2(T, H)$, но и безразмерным параметром [16]

$$\xi(T, H) = \frac{H}{2bM^3(T, H)}. \quad (3.4)$$

При получении формулы (3.2) было использовано уравнение магнитного состояния ферромагнетика, отвечающее (3.1):

$$\frac{H}{M} = \alpha(T - T_C) + \frac{1}{2} \alpha_2 (T - T_C)^2 + [b + \alpha_3 (T - T_C)] M^2 + a_5 M^4. \quad (3.5)$$

Второе слагаемое правой части (3.2) соответствует результату работы [12] и в пределе поля $H = 0$ описывает «скачок» упругих модулей в точке Кюри, поскольку, согласно (3.4) и (3.5), $\xi(T, 0) = \infty$ при $T > T_C$ и $\xi(T, 0) = 0$ при $T < T_C$. Следующие слагаемые правой части (3.2) при $H = 0$ описывают изменение угла наклона температурной зависимости упругих модулей, пропорциональное $M^2(T, 0)$, при переходе в ферромагнитное состояние, что соответствует результату работы [14]. В конечном магнитном поле выражение подобное (3.2) изучалось в работах [16] применительно к модели Стонера слабоферромагнитного металла.

Формулы (3.2) и (3.5) позволяют изучать температурную и полевою зависимость упругих модулей ферромагнетика вблизи температуры Кюри. Рассмотрим сначала

область температур ниже температуры Кюри ($T < T_C$). Тогда в случае слабого магнитного поля,

$$H^{2/3} \ll \frac{\alpha T_C}{b^{1/3}} \left(1 - \frac{T}{T_C}\right), \quad (3.6)$$

находим из (3.2) и (3.5) следующую зависимость тензора упругих модулей от температуры и магнитного поля:

$$C_{ij}^H(T, H) = C_{ij}^0(T) - C_{ij}^{(1)} + C_{ij}^{(7)} \left(1 - \frac{T}{T_C}\right) + \left[C_{ij}^{(1)} + C_{ij}^{(8)} \left(1 - \frac{T}{T_C}\right) \right] \left(1 - \frac{T}{T_C}\right)^{-3/2} \frac{b^{1/2} H}{2(\alpha T_C)^{3/2}}, \quad (3.7)$$

где

$$C_{ij}^{(7)} = \sum_{n=2}^6 C_{ij}^{(n)} = -\frac{(\alpha T_C)^2}{2b} \left[\frac{\partial \ln T_C}{\partial u_i} \frac{\partial \ln(\alpha^2/b)}{\partial u_j} + \frac{\partial \ln T_C}{\partial u_j} \frac{\partial \ln(\alpha^2/b)}{\partial u_i} \right] + \frac{1}{T_C} \frac{\partial^2 T_C}{\partial u_i \partial u_j} + \left(\frac{3\alpha_3 T_C}{b} - \frac{3\alpha_2 T_C}{\alpha} - \frac{2\alpha a_5 T_C}{b^2} \right) \frac{\partial \ln T_C}{\partial u_i} \frac{\partial \ln T_C}{\partial u_j},$$

$$C_{ij}^{(8)} = -C_{ij}^{(2)} - 2C_{ij}^{(3)} + 2C_{ij}^{(4)} + C_{ij}^{(5)}.$$

В квадратных скобках последнего слагаемого в правой части формулы (3.7) мы удержали член, пропорциональный малому параметру $(1 - T/T_C) \ll 1$, поскольку, как будет видно ниже, в случае гадолиния имеет место неравенство $C_{33}^{(1)} \ll C_{33}^{(8)}$. Это отличает (3.7) от формулы, которая в этом пределе может быть получена на основе работ [12, 14].

Перейдем к рассмотрению случая, отвечающего сильному магнитному полю, когда выполнены неравенства

$$\frac{2\alpha T_C}{3b^{1/3}} \left| 1 - \frac{T}{T_C} \right| \ll H^{2/3} \ll \frac{b^{5/3}}{a_5}, \quad (3.8)$$

где правое неравенство (3.8) означает малость слагаемого $a_5 M^4$ в уравнении (3.5) по сравнению с bM^2 . В этих условиях зависимость упругих модулей (3.2) от температуры и магнитного поля описывается следующим выражением:

$$C_{ij}^H(T, H) = C_{ij}^0(T) - \frac{2}{3} C_{ij}^{(1)} - \frac{2}{9} C_{ij}^{(1)} \left(1 - \frac{T}{T_C}\right) \frac{\alpha T_C}{b^{1/3} H^{2/3}} + C_{ij}^{(9)} \frac{b^{1/3} H^{2/3}}{\alpha T_C}, \quad (3.9)$$

где

$$C_{ij}^{(9)} = C_{ij}^{(4)} + \frac{2}{3} C_{ij}^{(5)} + \frac{4}{9} C_{ij}^{(6)}.$$

При выполнении дополнительного условия для величины магнитного поля

$$\left[\frac{2C_{ij}^{(1)}}{9C_{ij}^{(9)}} \right]^{1/2} \frac{\alpha T_C}{b^{1/3}} \left| 1 - \frac{T}{T_C} \right|^{1/2} \ll H^{2/3} \quad (3.10)$$

выражение (3.9) принимает вид

$$C_{ij}^H(T, H) = C_{ij}^0(T) - \frac{2}{3}C_{ij}^{(1)} + C_{ij}^{(9)} \frac{b^{1/3} H^{2/3}}{\alpha T_C}. \quad (3.11)$$

Подчеркнем здесь, что формула (3.11) представляет собой выход за рамки приближения работы [12], согласно которой при $T \simeq T_C$ упругий модуль не зависит от магнитного поля. Из формулы (3.11) следует, что магнитное поле

$$H_C = \frac{(\alpha T_C)^{3/2}}{b^{1/2}} \left[\frac{2C_{ij}^{(1)}}{3C_{ij}^{(9)}} \right]^{3/2} \quad (3.12)$$

компенсирует «отрицательный» скачок упругого модуля при $T = T_C$.

Наконец, рассмотрим область температур, отвечающую парамагнитному состоянию ($T > T_C$). Тогда в случае слабого магнитного поля,

$$H^{2/3} \ll \frac{\alpha T_C}{b^{1/3}} \left(\frac{T}{T_C} - 1 \right), \quad (3.13)$$

зависимость тензора упругих модулей от температуры и магнитного поля, согласно (3.2) и (3.5), принимает вид (ср. с [4, 17])

$$C_{ij}^H(T, H) = C_{ij}^0(T) - \left[2C_{ij}^{(1)} \left(\frac{T}{T_C} - 1 \right)^{-1} + 2C_{ij}^{(2)} - C_{ij}^{(4)} \right] \times \\ \times \left(\frac{T}{T_C} - 1 \right)^{-2} \frac{bH^2}{(\alpha T_C)^3}. \quad (3.14)$$

Полученные соотношения мы используем в следующем разделе для анализа экспериментальных данных по полевой зависимости модуля Юнга $E(T, H)$ в гадолинии вблизи температуры Кюри.

4. ОБСУЖДЕНИЕ РЕЗУЛЬТАТОВ И ВЫВОДЫ

Переходя к интерпретации экспериментальных закономерностей, представленных на рис. 1 и 2 для гадолиния, следует иметь в виду, что измеренный модуль Юнга $E(T, H)$ вдоль гексагональной оси c определяется компонентой тензора упругих модулей $C_{33}^H(T, H)$. При этом видно, что температурное поведение модуля Юнга $E(T, 0)$ в пределе поля $H = 0$, описывается участком ломанной кривой 1 на рис. 1 вблизи температуры Кюри ($T \leq T_C$), может быть аппроксимировано формулой (3.7), согласно которой имеем

$$E(T, 0) = E_0(T) - C_{33}^{(1)} + C_{33}^{(7)} \left(1 - \frac{T}{T_C} \right), \quad (4.1)$$

где $E_0(T) = C_{33}^0(T)$. Сравнение формулы (4.1) с данными на рис. 1 позволяет найти для гадолиния магнитоупругие коэффициенты $C_{33}^{(1)} \simeq 1.2$ ГПа и $C_{33}^{(7)} \simeq 30.8$ ГПа, которые определяют соответственно скачок модуля $E(T, 0)$ при $T = T_C$ и изменение угла

наклона температурной зависимости $E(T, 0)$ ниже T_C . Влияние магнитного поля на температурную зависимость модуля $E(T, H)$ в области $T > T_{SR}$, видное на рис. 1, качественно отвечает закономерностям, описываемым формулами (3.7), (3.9) и (3.11), когда с ростом магнитного поля скачок модуля Юнга $E(T, H)$ в точке Кюри размывается, а угол наклона температурной зависимости $E(T, H)$ возрастает с полем, если $C_{33}^{(8)} > 0$, $C_{33}^{(9)} > 0$. Чтобы обсудить эти закономерности количественно, мы остановимся более подробно на анализе результатов, представленных на рис. 2. Для этого перепишем формулы (3.7) и (3.11) с помощью уравнения (3.5) в виде, явно содержащем зависимость от $M^2(T, H)$. Тогда в случае слабого поля (3.6) с помощью формулы (3.7) находим следующее выражение для полевой зависимости ΔE -эффекта:

$$\Delta E(T, H) = C_{33}^H(T, H) - C_{33}^H(T, 0) = \left[C_{33}^{(1)} + C_{33}^{(8)} \left(1 - \frac{T}{T_C} \right) \right] \frac{M^2(T, H) - M^2(T, 0)}{2M^2(T, 0)}, \quad (4.2)$$

а в случае сильного поля (3.8) при условии (3.10) формула (3.11) дает

$$\Delta E(T, H) = C_{33}^H(T, H) - C_{33}^H(T, 0) = C_{33}^{(9)} \frac{bM^2(T_C, H)}{\alpha T_C}. \quad (4.3)$$

Таким образом, в обоих предельных случаях как слабого, так и сильного поля при дополнительном условии (3.10), полевая зависимость ΔE -эффекта оказывается пропорциональной $M^2(T, H)$ при различных температурах. Этот вывод соответствует на рис. 2 прямым линиям 1–7. При этом прямые 1, 2 отвечают, очевидно, случаю сильного поля, поскольку для них изменение $M^2(T, H)$ с увеличением поля велико по сравнению с $M^2(T, 0)$ при фиксированной температуре $T \simeq T_C$. Тангенс угла наклона этих прямых, согласно (4.3), равен

$$\operatorname{tg} \varphi_n = C_{33}^{(9)} \frac{b}{\alpha T_C}, \quad n = 1, 2. \quad (4.4)$$

Напротив, прямые 3–7 соответствуют на рис. 2 пределу слабого поля, когда изменение $M^2(T, H)$ с увеличением поля мало по сравнению со спонтанной величиной $M^2(T, 0)$. Тангенс угла наклона этих прямых, согласно (4.2), равен

$$\operatorname{tg} \varphi_n = \left[C_{33}^{(1)} \left(1 - \frac{T}{T_C} \right)^{-1} + C_{33}^{(8)} \right] \frac{b}{2\alpha T_C}, \quad n = 3 \div 7. \quad (4.5)$$

Поскольку на рис. 2 видно, что тангенс угла наклона прямых 3–7 не зависит от температуры, согласно формуле (4.5), это возможно, когда

$$C_{33}^{(1)} \left(1 - \frac{T}{T_C} \right)^{-1} \ll C_{33}^{(8)}. \quad (4.6)$$

В этих условиях из (4.5) имеем

$$\operatorname{tg} \varphi_n = C_{33}^{(8)} \frac{b}{2\alpha T_C}, \quad n = 3 \div 7. \quad (4.7)$$

Отклонение экспериментальных данных от прямых 3–7 на рис. 2 возникает тогда, когда приращение $M^2(T, H)$ в поле становится заметным по сравнению с $M^2(T, 0)$. В этом

случае происходит переход от закономерности, описываемой формулой (4.2), к закономерности (4.3), отвечающей прямым 1, 2, которые выполняют роль асимптотик для экспериментальных данных. Эту тенденцию также можно увидеть на рис. 2.

Экспериментальные результаты, представленные на рис. 2, позволяют дать количественные оценки параметрам и утверждениям изложенного выше феноменологического подхода применительно к гадолинию. Прежде всего из рис. 2 можно найти величину отношения $\alpha T_C/b \simeq (1.1 \div 1.3) \cdot 10^7$ Гс², используя данные для $M^2(T, 0)$, отложенные на оси абсцисс при известных температурах, и значение плотности массы гадолиния $\rho \simeq 7.87$ г/см³ из [11]. Это, в свою очередь, позволяет оценить параметр $b \simeq (0.56 \div 0.66) \cdot 10^{-4}$ Гс⁻², используя экспериментальную величину константы Кюри $C = \alpha^{-1} = 0.4$ К из рис. 1 работы [18]. Далее формулы (4.4) и (4.7) совместно с экспериментальными данными для тангенсов углов наклона $\text{tg } \varphi_n \simeq 1.29 \cdot 10^5$ прямых 1, 2 на рис. 2 и $\text{tg } \varphi_n \simeq 0.47 \cdot 10^6$ прямых 3–7 позволяют рассчитать магнитоупругие коэффициенты $C_{33}^{(9)} \simeq (1.4 \div 1.7) \cdot 10^2$ ГПа и $C_{33}^{(8)} \simeq (1.0 \div 1.2) \cdot 10^3$ ГПа. Имея в виду приведенные выше данные, можно переписать неравенство (4.6) применительно к гадолинию в виде

$$(1.0 \div 1.2) \cdot 10^{-3} \ll 1 - T/T_C. \quad (4.8)$$

Очевидно, что (4.8) выполняется для температур, отвечающих прямым 3–7. Это оправдывает использование формулы (4.7) для описания таких прямых.

Приведенные выше данные и формула (3.12) позволяют оценить величину магнитного поля $H_C \simeq 0.8\text{--}1.1$ кЭ, при которой исчезает отрицательный ΔE -эффект в точке Кюри. Полученная таким образом оценка H_C хорошо согласуется с экспериментальными данными, представленными на рис. 1.

Обсудим теперь условия (3.8) и (3.10), определяющие сильное магнитное поле, применительно к нашему эксперименту. Данные, приведенные выше, позволяют переписать левое неравенство (3.8) для гадолиния в виде

$$(1.3 \div 1.4) \cdot 10^3 |1 - T/T_C|^{3/2} \text{ кЭ} \ll H. \quad (4.9)$$

Тогда для температуры $T = 300$ К «сильное поле» означает $H \gg 5$ кЭ, а для температуры $T = 289$ К — $H \gg 2$ кЭ. Эти условия реализуются в нашем эксперименте для прямых 1, 2 на рис. 2. Неравенство (3.10) применительно к гадолинию принимает вид

$$(19 \div 24) |1 - T/T_C|^{3/4} \text{ кЭ} \ll H. \quad (4.10)$$

Очевидно, что для температур $T = 300$ К и 289 К неравенство (4.9) более сильное, чем (4.10). Поэтому прямым 1, 2 на рис. 2 отвечают соотношения (4.3) и (4.4). Напротив, для прямых 3–7 выполняется неравенство противоположное (4.9), т. е. поля, использованные в нашем эксперименте, являются слабыми при температурах, отвечающих этим прямым, а сами прямые описываются формулами (4.2) и (4.7).

Таким образом, обнаруженные в настоящей работе новые экспериментальные закономерности в полевой зависимости ΔE -эффекта вдоль гексагональной оси в монокристалле гадолиния могут быть поняты в области температур выше температуры спин-переориентационного перехода в рамках подхода, основанного на теории Ландау фазовых переходов второго рода. Поскольку схожие экспериментальные закономерности обнаружены также ниже температуры спин-переориентационного перехода, мы думаем, что развитый в этой работе феноменологический подход может быть сравнительно легко обобщен и на эту область температур (см. также [9, 10, 19]).

Работа поддержана Российским фондом фундаментальных исследований (проект 96-02-17318-а) и Федеральной программой государственной поддержки ведущих научных школ России (проект 96-15-96429).

Литература

1. К. П. Белов, *Редкоземельные магнетики и их применение*, Наука, Москва (1980).
2. А. К. Звездин, В. М. Матвеев, А. А. Мухин, А. И. Попов, *Редкоземельные ионы в магнитоупорядоченных кристаллах*, Наука, Москва (1985).
3. M. Long, A. R. Wazzan, and R. Stern, *Phys. Rev.* **178**, 775 (1969).
4. T. J. Moran and B. Lüthi, *J. Phys. Chem. Solids* **31**, 1735 (1970).
5. H. Klimer and M. Rosen, *Phys. Rev. B* **7**, 2054 (1973).
6. S. B. Palmer, E. W. Lee, and M. N. Islam, *Proc. R. Soc. London A* **338**, 341 (1974).
7. D. C. Jiles and S. B. Palmer, *J. Phys. F: Metal Phys.* **10**, 2857 (1980).
8. S. A. Nikitin, A. M. Tishin, S. K. Godovikov, V. Yu. Bodriakov, and I. A. Avenarius, *J. Magn. Magn. Mater.* **125**, 190 (1993).
9. L. M. Levinson and S. Shtrikman, *J. Phys. Chem. Solids* **32**, 981 (1971).
10. F. Freyne, *Phys. Rev. B* **5**, 1327 (1972).
11. С. А. Никитин, *Магнитные свойства редкоземельных металлов и их сплавов*, Изд-во МГУ, Москва (1989).
12. К. П. Белов, Г. И. Катаев, Р. З. Левитин, *ЖЭТФ* **37**, 938 (1959).
13. G. I. Kataev and V. V. Shubin, *Acta Phys. Pol. A* **68**, 115 (1985).
14. Г. И. Катаев, *ФММ* **11**, 375 (1961).
15. V. P. Silin, D. Wagner, and V. M. Zverev, *Phys. Lett. A* **192**, 421 (1994).
16. В. М. Зверев, В. П. Силин, *ЖЭТФ* **89**, 642 (1985); *ФММ* **61**, 1055 (1986).
17. B. W. Southern and D. A. Goodings, *Phys. Rev. B* **7**, 534 (1973).
18. S. Arajs and R. V. Colvin, *J. Appl. Phys. Suppl.* **32**, 336 (1961).
19. К. П. Белов, А. К. Звездин, А. М. Кадомцева, Р. З. Левитин, *Ориентационные переходы в редкоземельных магнетиках*, Наука, Москва (1979).